

## 184. 1,3-Dipolare Cycloaddition aromatischer Nitril-ylide und Nitril-oxide an Dicyan und Diazocyanide

von Walter Ried\* und Maria Fulde<sup>1)</sup>

Institut für Organische Chemie der Universität Frankfurt, Laboratorium Niederrad, Theodor-Stern-Kai 7,  
D-6000 Frankfurt/Main 70

(29. VII. 88)

### 1,3 Dipolar Cycloaddition of Aromatic Nitrile Ylides and Nitrile Oxides with Cyanogen and Diazocyanides

Nitril ylides **2** generated from the imido-yl chlorides **1** react with cyanogen and aryldiazocyanides to 2,5(4)-diaryl-1*H*-imidazole-4(5)-carbonitriles **3a,b** or 5(4)-(aryloxy)-2,4(5)-diaryl-1*H*-imidazoles **4a-d** and 2,3,5-triaryl-2,3-dihydro-1*H*-1,2,4-triazole-1-carbonitriles **5a-f**, respectively (*Scheme 1*). Reactions of benzonitrile oxides **7** with these dipolarophiles lead to 3,3'-diaryl-5,5'-bi[1,2,4]oxadiazoles **8a-c** or 3-aryl-5-(aryloxy)-1,2,4-oxadiazoles **9a-j** (*Scheme 2*).

**Einleitung.** – Nitril-ylide und Nitril-oxide, die der Klasse der oktettstabilisierten 1,3-Dipole angehören [2], erwiesen sich als reaktive Partner für aktivierte Nitrile [3]. Unsere Aufmerksamkeit galt elektronenarmen Cyaniden, die ihrer Struktur wegen verschiedene Cycloadditionsmöglichkeiten aufweisen. Diazocyanide besitzen zwei reaktive Gruppierungen: Azo- und Nitril-Gruppe, die zwei Reihen von Cycloaddukten denkbar machen. Dicyan ist ausser zu Additionen an die Nitril-Gruppen auch bedingt zu 'criss-cross'-Reaktionen fähig [4]. Eine Übersicht der Nitril-ylid-Additionen an Nitrile und Azoverbindungen ist in [5a] gegeben, und Nitril-oxid-Anlagerungen an Nitrile sind in [5b] zusammengestellt.

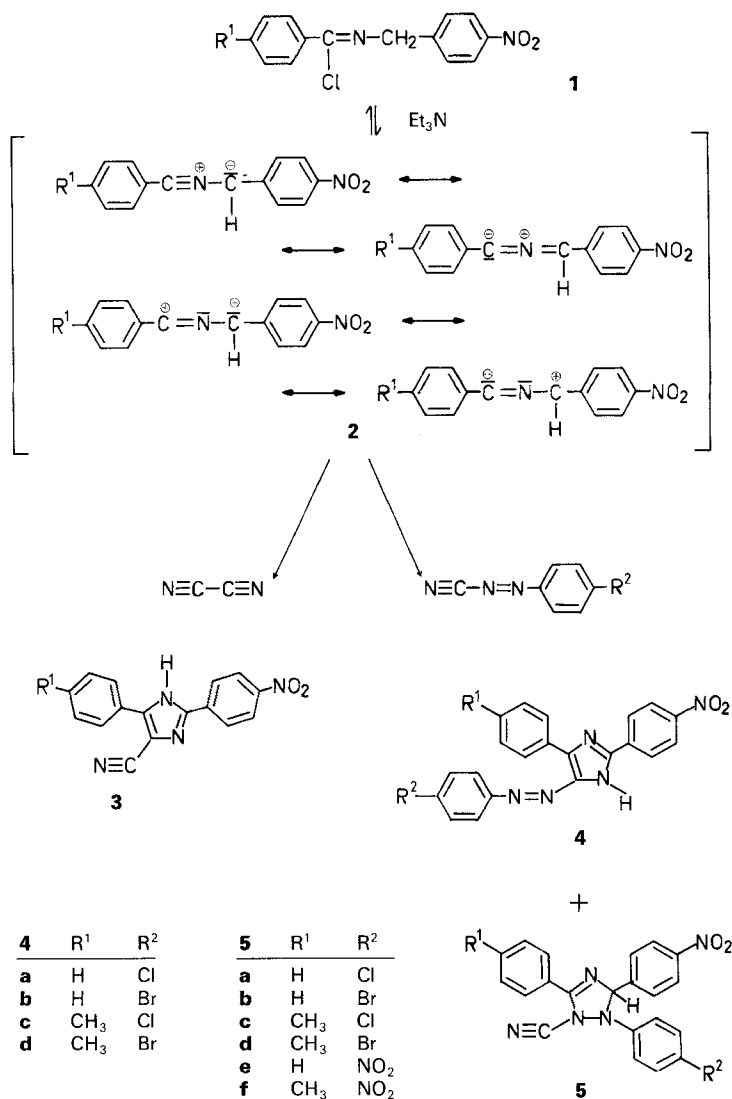
**Synthese und Strukturaufklärung von Imidazolcarbonitrilen 3a,b, (Aryloxy)imidazolen 4a-d und Triazolcarbonitrilen 5a-f.** – In unseren Untersuchungen setzten wir die aus *N*-(4-Nitrobenzyl)-benzimidoyl-chloriden **1** durch die Einwirkung von Et<sub>3</sub>N freigesetzten Benzonitrilio-(4-nitrobenzylide) **2** mit Dicyan um. Dabei entstanden schwerlösliche, hochschmelzende 1*H*-Imidazolcarbonitrile **3a,b** (*Schema 1*). Die Bildung von Bi-imidazolen wurde nicht beobachtet.

H,H-COSY-, H,C-COLOC- und NOE-Experimente erlauben die Zuordnung der H- und C-Atome und die Aufklärung der Struktur der Cycloaddukte (s. *Exper. Teil*). Die zwischen dem Imidazol-Proton und den beiden *o*-ständigen Protonen der Aryl-Reste beobachteten NOE-Effekte lassen annehmen, dass das Produkt überwiegend in der (1*H*-Imidazol-4-carbonitril)-Form vorliegt. Das MS von **3a** und **3b** bietet einen Hinweis auf die Additionsrichtung von Dicyan. Die Peaks C<sub>9</sub>H<sub>5</sub>N<sup>+</sup> bzw. C<sub>10</sub>H<sub>7</sub>N<sup>+</sup> bestätigen einen Fragmentationsweg, der über [C<sub>6</sub>H<sub>5</sub>-C=C-CN]<sup>+</sup> bzw. [CH<sub>3</sub>-C<sub>6</sub>H<sub>4</sub>-C=C-CN]<sup>+</sup> verläuft und die ursprüngliche Verknüpfung des Nitrophenyl-Rings an C(2) des Imidazols voraussetzt.

Bei den Reaktionen von Nitril-yliden mit Diazocyaniden entstanden in den meisten Fällen aromatische 5(4)-Aryloxy-1*H*-imidazole **4a-d** sowie 2,3-Dihydro-1*H*-1,2,4-tria-

<sup>1)</sup> Teil der geplanten Dissertation von M.F. [1].

Schema 1



zol-1-carbonitrile **5a-f**. Die Umsetzungen mit dem sehr reaktiven 4-Nitrobenzoldiazo-cyanid führten ausschliesslich zu den Triazol-Derivaten **5e-f**. Durch die Isomerisierung der Nitril-ylide [6] sowie zwei mögliche Additionsrichtungen können jeweils vier Strukturen in Erwägung gezogen werden. Dass es sich beim Cycloaddukt nur um ein Isomer handelt, liess sich anhand der NMR-Untersuchungen beweisen.

Die Aufklärung der Struktur erfolgt am Beispiel von 2-(4-Bromophenyl)-2,3-dihydro-3-(4-nitrophenyl)-5-(*p*-tolyl)-1*H*-1,2,4-triazol-1-carbonitril (**5d**), dessen <sup>1</sup>H-NMR-Spektrum ein gut interpretierbares AA'XX'-System darstellt. Die Ergebnisse der H,H-COSY-, H,C-COLOC- und NOE-Experimente liefern die Zuordnung der H-



geno- und NO<sub>2</sub>-substituierten Aryl-Reste beobachtet. Das Tautomeriegleichgewicht scheint auf der Seite von 5-(Arylazo)imidazol zu liegen. Die reduktive Spaltung der Azobindung in **4a** führt zum schon beschriebenen 2-(4-Nitrophenyl)-5(4)-aryl-1*H*-imidazol-4(5)-amin [8].

Für unsere Untersuchungen von Nitril-oxiden nahmen wir leicht zugängliche, substituierte Benzhydroximoyl-chloride **6** [9]. Durch die Einwirkung einer Hilfsbase entstanden Benzonitril-oxide **7**, die sowohl zu 1,3-dipolaren Cycloadditionen als auch zur Dimerisierung zu Diarylfuroxanen fähig sind [9] [10]. Dicyan reagierte mit Benzonitril-oxiden **7** zu farblosen, fast unlöslichen Bi[1,2,4]oxadiazolen **8a-c**. Im Falle des 4-Nitrophenyl-Derivates blieb die Reaktion aus und das abfiltrierte 4-Nitrobenzonitril-oxid dimerisiert sich bei Raumtemperatur zum Furoxan. Die Entstehung von 1,2,4-Oxadiazolen-5-carbonitrilen wurde nicht beobachtet.

Die von uns durchgeführten Cycloadditionen von Nitril-oxiden an Diazocyanide vollzogen sich leicht und lieferten in hohen Ausbeuten die 5-(Arylazo)-1,2,4-oxadiazole **9a-j**. Das Dimerisationsprodukt, Diarylfuroxan, wurde nur selten beobachtet, was durch eine verhältnismässig hohe dipolarophile Aktivität der Diazocyanide zu erklären ist. Trotz variiertter Reaktionsbedingungen stellt man fest, dass sich gegenüber den in Lösung instabilen 1,2,3,5-Oxatriazolen [11] bevorzugt die 1,2,4-Oxadiazole bildeten.

Wir danken der *Degussa AG* und der *Hoechst AG* für Chemikalienspenden sowie dem *Fonds der chemischen Industrie* für die Unterstützung unserer Arbeit.

### Experimenteller Teil

1. *Allgemeines*. Schmp.: Kupferblock, unkorrigiert. IR-Spektren (KBr): *Perkin-Elmer-398-IR-Spektrometer*, Angaben in cm<sup>-1</sup>. <sup>1</sup>H-NMR-Spektren: *Bruker WH 270* (270 MHz); TMS innerer Standard, δ-Werte in ppm. <sup>13</sup>C-NMR-Spektren: *Bruker AH 300* (300 MHz), δ-Werte in ppm. MS (70 eV): *Varian CH 7*. Elementaranalysen: *Heraeus CHN-Rapid*. Säulenchromatographie: Kieselgel *60, Macherey-Nagel*, 0,063–0,2 mm.

2. *Allgemeine Vorschrift zur Herstellung der Imidazolcarbonitrile 3a, b*. In eine auf –30° gekühlte Lsg. von 5 mmol des jeweiligen Arenimidoyl-chlorids **2** in 300 ml abs. THF wird 1 h Dicyan [12] eingeleitet. Nach Sättigung der Lsg. tropft man bei etwas verringertem Dicyan-Strom 5 mmol (0,5 g) Et<sub>3</sub>N zu. Das Gemisch wird noch 48 h gerührt, wobei es sich auf RT. erwärmt (DC-Kontrolle). Das ausgefallene Et<sub>3</sub>N·HCl wird abfiltriert und das Lsgm. entfernt. Reinigung durch Säulenchromatographie (CHCl<sub>3</sub>/AcOEt 9:1) ergibt gelbes **3a** bzw. **3b**.

2-(4-Nitrophenyl)-5(4)-phenyl-1*H*-imidazol-4(5)-carbonitril (**3a**): 0,36 g (25%) gelbe Kristalle. Schmp. 341–342° (Zers.). IR: 3240*m* (NH), 2220*s* (C≡N), 1605*w*, 1600*m*, 1580*w*, 1560*w* (C=N, C=C), 1515*s*, 1345*s* (NO<sub>2</sub>). <sup>1</sup>H-NMR ((D<sub>6</sub>)DMSO): 7,52–7,66 (*m*, 3 H von Ph); 7,90–7,93 (*m*, 2 H von Ph); 8,32–8,43 (*m*<sup>2</sup>), 2 H<sub>o</sub>, 2 H<sub>m</sub> von NO<sub>2</sub>C<sub>6</sub>H<sub>4</sub>); 13,87 (*s*, NH). MS (70 eV): 290, 291, 292 (65, 31, 6, *M*<sup>+</sup>); 260 (3, *M*<sup>+</sup> – NO); 244 (11, *M*<sup>+</sup> – NO<sub>2</sub>); 232 (3, *M*<sup>+</sup> – NO – CO); 148 (8, NO<sub>2</sub>C<sub>6</sub>H<sub>4</sub>CN); 141 (6, C<sub>6</sub>H<sub>5</sub>C<sub>2</sub>NCN); 127 (3, C<sub>6</sub>H<sub>5</sub>C<sub>2</sub>CN); 122 (6, NO<sub>2</sub>C<sub>6</sub>H<sub>4</sub>); 103 (78, C<sub>6</sub>H<sub>5</sub>CN); 42 (100). Anal. ber. für C<sub>16</sub>H<sub>10</sub>N<sub>4</sub>O<sub>2</sub> (290,28): C 66,20, H 3,47, N 19,30; gef.: C 66,29, H 3,56, N 19,34.

2-(4-Nitrophenyl)-5(4)-(p-tolyl)-1*H*-imidazol-4(5)-carbonitril (**3b**): 0,41 g (27%) gelbe Kristalle. Schmp. 328–329° (Zers.). IR: 3250*s* (NH), 2220*s* (C≡N), 1605*w*, 1600*m*, 1580*m*, 1560*w* (C=N, C=C), 1515*s*, 1345*s* (NO<sub>2</sub>). <sup>1</sup>H-NMR ((D<sub>6</sub>)DMSO): 2,40 (*s*, CH<sub>3</sub>); 7,42 (*m*<sup>2</sup>), 2 H<sub>m</sub> von CH<sub>3</sub>C<sub>6</sub>H<sub>4</sub>); 7,80 (*m*<sup>2</sup>), 2 H<sub>o</sub> von CH<sub>3</sub>C<sub>6</sub>H<sub>4</sub>); 8,31 (*m*<sup>2</sup>), 2 H<sub>o</sub> von NO<sub>2</sub>C<sub>6</sub>H<sub>4</sub>); 8,38 (*m*<sup>2</sup>), 2 H<sub>m</sub> von NO<sub>2</sub>C<sub>6</sub>H<sub>4</sub>); 13,74 (*s*, NH). <sup>13</sup>C-NMR ((D<sub>6</sub>)DMSO)<sup>3</sup>): 21,0 (CH<sub>3</sub>); 116,1 (CN); 124,3 (C(3',5')); 126,2 (C(5)); 126,6 (C(2'',6'')); 126,9 (C(2',6')); 129,6 (C(1'')); 129,8 (C(3'',5'')); 134,5

<sup>2</sup>) AA'XX' bzw. AA'BB'-System.

<sup>3</sup>) Einfach gestrichene Lokanten beziehen sich immer auf den Aryl-Rest NO<sub>2</sub>C<sub>6</sub>H<sub>4</sub>, zweifach gestrichene auf R<sup>1</sup>C<sub>6</sub>H<sub>4</sub> und dreifach gestrichene auf R<sup>2</sup>C<sub>6</sub>H<sub>4</sub>.

(C(1')); 139,8 (C(4'')); 145,9 (C(2)); 147,6 (C(4')). NOE-Effekte (Einstrahlung  $\rightarrow$  NOE): 2,40 (CH<sub>3</sub>)  $\rightarrow$  7,42 (2,2%, H<sub>m</sub> von CH<sub>3</sub>C<sub>6</sub>H<sub>4</sub>); 7,42 (H<sub>m</sub> von CH<sub>3</sub>C<sub>6</sub>H<sub>4</sub>)  $\rightarrow$  2,40 (2,2%, CH<sub>3</sub>); 7,80 (4,3%, H<sub>o</sub> von CH<sub>3</sub>C<sub>6</sub>H<sub>4</sub>); 7,80 (H<sub>o</sub> von CH<sub>3</sub>C<sub>6</sub>H<sub>4</sub>)  $\rightarrow$  7,42 (5%, H<sub>m</sub> von CH<sub>3</sub>C<sub>6</sub>H<sub>4</sub>); 13,74 (0,6%, NH); 8,31 (H<sub>o</sub> von NO<sub>2</sub>C<sub>6</sub>H<sub>4</sub>)  $\rightarrow$  13,74 (1,1%, NH); 13,74 (NH)  $\rightarrow$  7,80 (3,3%, H<sub>o</sub> von CH<sub>3</sub>C<sub>6</sub>H<sub>4</sub>); 8,31 (5,3%, H<sub>o</sub> von NO<sub>2</sub>C<sub>6</sub>H<sub>4</sub>). H,C-COLOC-Experimente:  $J(CH_3, C(3'', 5''))$ ,  $J(CH_3, C(4''))$  klein;  $J(H_m \text{ von } CH_3C_6H_4, C(1''))$ ,  $^1J(H_m \text{ von } CH_3C_6H_4, C(3'', 5''))$ ;  $^1J(H_o \text{ von } CH_3C_6H_4, C(2'', 6''))$ ,  $J(H_o \text{ von } CH_3C_6H_4, C(4''))$ ;  $^1J(H_o \text{ von } NO_2C_6H_4, C(2', 6'))$ ,  $J(H_o \text{ von } NO_2C_6H_4, C(2))$ ,  $J(H_o \text{ von } NO_2C_6H_4, C(4'))$ ;  $^1J(H_m \text{ von } NO_2C_6H_4, C(3', 5'))$ ,  $J(H_m \text{ von } NO_2C_6H_4, C(1'))$ . MS (70 eV): 304, 305, 306 (83, 18, 2, M<sup>+</sup>); 274, 275 (9, 2, M<sup>+</sup> - NO); 258, 259 (32, 8, M<sup>+</sup> - NO<sub>2</sub>); 246 (6, M<sup>+</sup> - NO - CO), 243 (6, M<sup>+</sup> - NO<sub>2</sub> - CH<sub>3</sub>), 232 (5, M<sup>+</sup> - NO - CO - CH<sub>3</sub>), 207 (5, C<sub>6</sub>H<sub>4</sub>CNHCC<sub>6</sub>H<sub>4</sub>O), 155 (5, CH<sub>3</sub>C<sub>6</sub>H<sub>4</sub>C<sub>2</sub>NCN), 141 (8, CH<sub>3</sub>C<sub>6</sub>H<sub>4</sub>C<sub>2</sub>CN), 102 (9, C<sub>6</sub>H<sub>4</sub>CN), 91 (12, CH<sub>3</sub>C<sub>6</sub>H<sub>4</sub>), 42 (100). Anal. ber. für C<sub>17</sub>H<sub>12</sub>N<sub>4</sub>O<sub>2</sub> (304,31): C 67,10, H 3,97, N 18,41; gef.: C 66,86, H 4,08, N 18,20.

3. *Allgemeine Vorschrift zur Herstellung der (Arylazo)imidazole 4a-d und der Triazolcarbonitrile 5a-f.* Zu einer im Eisbad gekühlten Lsg. von 5 mmol des jeweiligen Benzimidoyl-chlorids **2** und 5,5 mmol Diazocyanid in 50 ml abs. THF werden langsam 5 mmol (0,5 g) Et<sub>3</sub>N getropft. Nach 24 h wird der abgeschiedene Niederschlag des Et<sub>3</sub>N·HCl abfiltriert und das Filtrat eingeeengt. Nach CHCl<sub>3</sub>-Zugabe fällt der Hauptanteil von **4** aus. Aus dem Filtrat werden **4** und **5** säulenchromatographisch (Toluol/AcOEt 10:1) gewonnen. Im Falle von **5e-f** wird anstatt Et<sub>3</sub>N Pyridin als Hilfsbase eingesetzt.

5(4)-(4-Chlorophenylazo)-2-(4-nitrophenyl)-4(5)-phenyl-1H-imidazol (**4a**): 0,22 g (11%) gelbe Kristalle. Schmp. 232°. IR: 3400s (NH), 3060w (CH), 1600m, 1560w (C=N, C=C), 1535s, 1340m (NO<sub>2</sub>). <sup>1</sup>H-NMR ((D<sub>6</sub>)DMSO): 7,43 (m<sup>2</sup>), 2 H<sub>m</sub> von ClC<sub>6</sub>H<sub>4</sub>; 7,53-7,67 (m, 3 H von Ph); 7,84 (m<sup>2</sup>), 2 H<sub>o</sub> von ClC<sub>6</sub>H<sub>4</sub>; 8,32 (m<sup>2</sup>), 2 H<sub>m</sub> von NO<sub>2</sub>C<sub>6</sub>H<sub>4</sub>; 8,44-8,46 (m, 2 H von Ph); 8,61 (m<sup>2</sup>), 2 H<sub>o</sub> von NO<sub>2</sub>C<sub>6</sub>H<sub>4</sub>; 10,53 (s, NH). Anal. ber. für C<sub>21</sub>H<sub>14</sub>ClN<sub>3</sub>O<sub>2</sub> (403,83): C 62,46, H 3,49, N 17,34; gef.: C 62,18, H 3,55, N 17,08.

5(4)-(4-Bromophenylazo)-2-(4-nitrophenyl)-4(5)-phenyl-1H-imidazol (**4b**): 0,94 g (42%) gelbe Kristalle. Schmp. 227-228°. IR: 3380s (NH), 1590m, 1555m (C=N, C=C), 1530s, 1340s (NO<sub>2</sub>). <sup>1</sup>H-NMR (CDCl<sub>3</sub>): 7,40 (s, NH); 7,53-7,69 (m, 3 H von Ph, 4 H von BrC<sub>6</sub>H<sub>4</sub>); 8,38 (m<sup>2</sup>), 2 H<sub>m</sub> von NO<sub>2</sub>C<sub>6</sub>H<sub>4</sub>; 8,56-8,60 (m, 2 H von Ph); 8,76 (m<sup>2</sup>), 2 H<sub>o</sub> von NO<sub>2</sub>C<sub>6</sub>H<sub>4</sub>). Anal. ber. für C<sub>21</sub>H<sub>14</sub>BrN<sub>3</sub>O<sub>2</sub> (448,29): C 56,27, H 3,15, N 15,62; gef.: C 56,06, H 3,13, N 15,42.

5(4)-(4-Chlorophenylazo)-2-(4-nitrophenyl)-4(5)-p-tolyl-1H-imidazol (**4c**): 0,31 g (15%) gelbe Kristalle. Schmp. 253-254°. IR: 3400m (NH), 1595m, 1560m (C=N, C=C), 1530s, 1340s (NO<sub>2</sub>). <sup>1</sup>H-NMR ((D<sub>6</sub>)DMSO): 2,47 (s, CH<sub>3</sub>); 7,38 (m<sup>2</sup>), 2 H<sub>m</sub> von CH<sub>3</sub>C<sub>6</sub>H<sub>4</sub>; 7,46 (m<sup>2</sup>), 2 H<sub>m</sub> von ClC<sub>6</sub>H<sub>4</sub>; 7,87 (m<sup>2</sup>), 2 H<sub>o</sub> von ClC<sub>6</sub>H<sub>4</sub>; 8,37 (m<sup>2</sup>), 2 H<sub>m</sub> von NO<sub>2</sub>C<sub>6</sub>H<sub>4</sub>; 8,41 (m<sup>2</sup>), 2 H<sub>o</sub> von CH<sub>3</sub>C<sub>6</sub>H<sub>4</sub>; 8,68 (m<sup>2</sup>), 2 H<sub>o</sub> von NO<sub>2</sub>C<sub>6</sub>H<sub>4</sub>; 10,55 (s, NH). <sup>13</sup>C-NMR ((D<sub>6</sub>)DMSO)<sup>3</sup>: 21,3 (CH<sub>3</sub>); 122,2 (C(2'', 6'')); 123,8 (C(3', 5'')); 127,0 (C(4'')); 128,4 (C(2', 6'')); 128,6 (C(3'', 5'')); 129,4 (C(3'', 5'')); 129,5 (C(2', 6'')); 132,8 (C(1'')); 137,8 (C(1'')); 141,8 (C(1'')); 142,9 (C(4'')); 149,8 (C(4'')); 164,4 (C(5)); 169,0 (C(2)); 171,1 (C(4)). Anal. ber. für C<sub>22</sub>H<sub>16</sub>ClN<sub>3</sub>O<sub>2</sub> (417,86): C 63,24, H 3,86, N 16,76; gef.: C 63,03, H 4,10, N 16,75.

5(4)-(4-Bromophenylazo)-2-(4-nitrophenyl)-4(5)-(p-tolyl)-1H-imidazol (**4d**): 0,30 g (13%) gelbe Kristalle. Schmp. 258-259°. IR: 3380m (NH), 1590m, 1555m (C=N, C=C), 1530s, 1340s (NO<sub>2</sub>). <sup>1</sup>H-NMR ((D<sub>6</sub>)DMSO): 2,40 (s, CH<sub>3</sub>); 7,35 (m<sup>2</sup>), 2 H<sub>m</sub> von CH<sub>3</sub>C<sub>6</sub>H<sub>4</sub>; 7,55 (m<sup>2</sup>), 2 H<sub>m</sub> von BrC<sub>6</sub>H<sub>4</sub>; 7,80 (m<sup>2</sup>), 2 H<sub>o</sub> von BrC<sub>6</sub>H<sub>4</sub>; 8,32 (m<sup>2</sup>), 2 H<sub>m</sub> von NO<sub>2</sub>C<sub>6</sub>H<sub>4</sub>; 8,36 (m<sup>2</sup>), 2 H<sub>o</sub> von CH<sub>3</sub>C<sub>6</sub>H<sub>4</sub>; 8,64 (m<sup>2</sup>), 2 H<sub>o</sub> von NO<sub>2</sub>C<sub>6</sub>H<sub>4</sub>; 10,38 (s, NH). <sup>13</sup>C-NMR ((D<sub>6</sub>)DMSO)<sup>3</sup>: 21,0 (CH<sub>3</sub>); 114,9 (C(4'')); 122,4 (C(2'', 6'')); 123,5 (C(3', 5'')); 128,3 (C(2', 6'')); 129,2 (C(3'', 5'')); 129,3 (C(2', 6'')); 131,3 (C(3'', 5'')); 132,7 (C(1'')); 138,1 (C(1'')); 141,7 (C(1'')); 142,7 (C(4'')); 149,6 (C(4'')); 164,2 (C(5)); 168,8 (C(2)); 170,9 (C(4)). H,C-COLOC- und H,C-COSY-Experimente (50°):  $J(CH_3, C(4''))$ ;  $^1J(H_m \text{ von } CH_3C_6H_4, C(3'', 5''))$ ;  $^1J(H_m \text{ von } BrC_6H_4, C(3'', 5''))$ ;  $J(H_m \text{ von } BrC_6H_4, C(1''))$ ;  $J(H_o \text{ von } BrC_6H_4, C(4''))$ ;  $^1J(H_o \text{ von } BrC_6H_4, C(2'', 6''))$ ;  $J(H_o \text{ von } BrC_6H_4, C(3'', 5''))$  klein;  $^1J(H_m \text{ von } NO_2C_6H_4, C(3', 5''))$ ;  $J(H_m \text{ von } NO_2C_6H_4, C(2', 6'))$  klein;  $J(H_m \text{ von } NO_2C_6H_4, C(1'))$ ;  $J(H_m \text{ von } NO_2C_6H_4, C(4'))$  klein;  $^1J(H_o \text{ von } CH_3C_6H_4, C(2', 6'))$ ;  $J(H_o \text{ von } CH_3C_6H_4, C(1''))$ ;  $J(H_o \text{ von } CH_3C_6H_4, C(4''))$ ;  $J(H_o \text{ von } CH_3C_6H_4, C(4))$ ;  $J(H_o \text{ von } NO_2C_6H_4, C(3', 5'))$  klein;  $^1J(H_o \text{ von } NO_2C_6H_4, C(2', 6'))$ ;  $J(H_o \text{ von } NO_2C_6H_4, C(4'))$ ;  $J(H_o \text{ von } NO_2C_6H_4, C(2))$ . Anal. ber. für C<sub>22</sub>H<sub>16</sub>BrN<sub>3</sub>O<sub>2</sub> (462,13): C 57,16, H 3,49, N 15,15; gef.: C 56,94, H 3,59, N 14,98.

2-(4-Chlorophenyl)-2,3-dihydro-3-(4-nitrophenyl)-5-phenyl-1H-1,2,4-triazol-1-carbonitril (**5a**): 0,32 g (16%) farblose Prismen. Schmp. 167-168°. IR: 3060w (CH), 2220s (C≡N), 1640s (C=N), 1600m (C=C), 1510s, 1340s (NO<sub>2</sub>). <sup>1</sup>H-NMR (CDCl<sub>3</sub>): 6,45 (s, H-C(3)); 7,15 (m<sup>2</sup>), 2 H<sub>o</sub> von ClC<sub>6</sub>H<sub>4</sub>; 7,38 (m<sup>2</sup>), 2 H<sub>m</sub> von ClC<sub>6</sub>H<sub>4</sub>; 7,53-7,60 (m, 2 H von Ph); 7,63-7,71 (m, 1 H von Ph); 7,85 (m<sup>2</sup>), 2 H<sub>o</sub> von NO<sub>2</sub>C<sub>6</sub>H<sub>4</sub>; 8,02-8,07 (m, 2 H von Ph); 8,35 (m<sup>2</sup>), 2 H<sub>m</sub> von NO<sub>2</sub>C<sub>6</sub>H<sub>4</sub>). Anal. ber. für C<sub>21</sub>H<sub>14</sub>ClN<sub>3</sub>O<sub>2</sub> (403,83): C 62,46, H 3,49, N 17,34; gef.: C 62,58, H 3,48, N 17,44.

2-(4-Bromophenyl)-2,3-dihydro-3-(4-nitrophenyl)-5-phenyl-1H-1,2,4-triazol-1-carbonitril (**5b**): 0,23 g (10%) farblose Kristalle. Schmp. 170-171°. IR: 3100m (CH), 2220s (C≡N), 1620s, 1570m (C=N, C=C). <sup>1</sup>H-NMR

(CDCl<sub>3</sub>): 6,46 (s, H–C(3)); 7,08 (m<sup>2</sup>), 2 H<sub>o</sub> von BrC<sub>6</sub>H<sub>4</sub>; 7,51–7,60 (m, 2 H<sub>m</sub> von BrC<sub>6</sub>H<sub>4</sub>, 2 H von Ph); 7,64–7,70 (m, 1 H von Ph); 7,86 (m<sup>2</sup>), 2 H<sub>o</sub> von NO<sub>2</sub>C<sub>6</sub>H<sub>4</sub>; 8,03–8,07 (m, 2 H von Ph); 8,34 (m<sup>2</sup>), 2 H<sub>m</sub> von NO<sub>2</sub>C<sub>6</sub>H<sub>4</sub>). Anal. ber. für C<sub>21</sub>H<sub>14</sub>BrN<sub>5</sub>O<sub>2</sub> (448,29): C 56,27, H 3,15, N 15,62; gef.: C 56,13, H 3,09, N 15,48.

2-(4-Chlorophenyl)-2,3-dihydro-3-(4-nitrophenyl)-5-(p-tolyl)-1H-1,2,4-triazol-1-carbonitril (**5c**): 0,84 g (40%) farblose Kristalle. Schmp. 185–187°. IR: 3100w, 3060w, 3030w, 2910w (CH), 2220s (C≡N), 1640s (C=N), 1600m (C=C), 1510s, 1340s (NO<sub>2</sub>). <sup>1</sup>H-NMR (CDCl<sub>3</sub>): 2,48 (s, CH<sub>3</sub>); 6,43 (s, H–C(3)); 7,14 (m<sup>2</sup>), 2 H<sub>o</sub> von ClC<sub>6</sub>H<sub>4</sub>; 7,34–7,40 (m, 2 H<sub>m</sub> von ClC<sub>6</sub>H<sub>4</sub>, 2 H<sub>m</sub> von CH<sub>3</sub>C<sub>6</sub>H<sub>4</sub>); 7,85 (m<sup>2</sup>), 2 H<sub>o</sub> von NO<sub>2</sub>C<sub>6</sub>H<sub>4</sub>; 7,94 (m<sup>2</sup>), 2 H<sub>o</sub> von CH<sub>3</sub>C<sub>6</sub>H<sub>4</sub>; 8,33 (m<sup>2</sup>), 2 H<sub>m</sub> von NO<sub>2</sub>C<sub>6</sub>H<sub>4</sub>. <sup>13</sup>C-NMR (CDCl<sub>3</sub>): 21,8 (CH<sub>3</sub>); 96,3 (C(3)); 109,8 (CN); 118,2 (C(2<sup>m</sup>, 6<sup>m</sup>)); 120,9 (C(1<sup>n</sup>)); 124,3 (C(3<sup>r</sup>, 5<sup>r</sup>)); 127,2 (C(2<sup>r</sup>, 6<sup>r</sup>)); 129,3 (C(2<sup>m</sup>, 6<sup>m</sup>)); 129,9 (C(3<sup>m</sup>, 5<sup>m</sup>)); 130,1 (C(3<sup>r</sup>, 5<sup>r</sup>)); 130,7 (C(4<sup>m</sup>)); 144,8 (C(1<sup>n</sup>)); 145,0 (C(4<sup>r</sup>)); 148,0 (C(4<sup>r</sup>)); 148,3 (C(1<sup>m</sup>)); 154,3 (C(5)). Anal. ber. für C<sub>22</sub>H<sub>16</sub>ClN<sub>5</sub>O<sub>2</sub> (417,86): C 63,24, H 3,86, N 16,76; gef.: C 62,97, H 3,76, N 16,54.

2-(4-Bromophenyl)-2,3-dihydro-3-(4-nitrophenyl)-5-p-tolyl-1H-1,2,4-triazol-1-carbonitril (**5d**): 0,62 g (27%) farblose Kristalle. Schmp. 200–201°. IR: 3090w, 3070w (CH), 2210s (C≡N), 1635s (C=N), 1600m (C=C), 1505s, 1335s (NO<sub>2</sub>). <sup>1</sup>H-NMR (CDCl<sub>3</sub>): 2,46 (s, CH<sub>3</sub>); 6,43 (s, H–C(3)); 7,07 (m<sup>2</sup>), 2 H<sub>o</sub> von BrC<sub>6</sub>H<sub>4</sub>; 7,36 (m<sup>2</sup>), 2 H<sub>m</sub> von CH<sub>3</sub>C<sub>6</sub>H<sub>4</sub>; 7,52 (m<sup>2</sup>), 2 H<sub>m</sub> von BrC<sub>6</sub>H<sub>4</sub>; 7,85 (m<sup>2</sup>), 2 H<sub>o</sub> von NO<sub>2</sub>C<sub>6</sub>H<sub>4</sub>; 7,93 (m<sup>2</sup>), 2 H<sub>o</sub> von CH<sub>3</sub>C<sub>6</sub>H<sub>4</sub>; 8,32 (m<sup>2</sup>), 2 H<sub>m</sub> von NO<sub>2</sub>C<sub>6</sub>H<sub>4</sub>. <sup>13</sup>C-NMR (CDCl<sub>3</sub>): 21,8 (CH<sub>3</sub>); 96,3 (C(3)); 109,8 (CN); 118,2 (C(4<sup>m</sup>)); 118,5 (C(2<sup>m</sup>, 6<sup>m</sup>)); 120,9 (C(1<sup>n</sup>)); 124,3 (C(3<sup>r</sup>, 5<sup>r</sup>)); 127,2 (C(2<sup>r</sup>, 6<sup>r</sup>)); 129,4 (C(2<sup>m</sup>, 6<sup>m</sup>)); 130,1 (C(3<sup>r</sup>, 5<sup>r</sup>)); 132,8 (C(3<sup>m</sup>, 5<sup>m</sup>)); 144,8 (C(1<sup>n</sup>)); 145,0 (C(4<sup>r</sup>)); 148,4 (C(4<sup>r</sup>)); 148,6 (C(1<sup>m</sup>)); 154,3 (C(5)). H,C-COLOC- und H,C-COSY-Experimente: *J*(CH<sub>3</sub>, C(4<sup>r</sup>)); *J*(H–C(3), C(3)), *J*(H–C(3), CN) klein; *J*(H–C(3), C(1<sup>m</sup>)); *J*(H–C(3), C(5)); *J*(H<sub>o</sub> von BrC<sub>6</sub>H<sub>4</sub>, C(4<sup>m</sup>)), *J*(H<sub>o</sub> von BrC<sub>6</sub>H<sub>4</sub>, C(2<sup>m</sup>, 6<sup>m</sup>)), *J*(H<sub>o</sub> von BrC<sub>6</sub>H<sub>4</sub>, C(1<sup>m</sup>)) klein; *J*(H<sub>m</sub> von CH<sub>3</sub>C<sub>6</sub>H<sub>4</sub>, C(1<sup>n</sup>)); *J*(H<sub>m</sub> von CH<sub>3</sub>C<sub>6</sub>H<sub>4</sub>, C(3<sup>r</sup>, 5<sup>r</sup>)); *J*(H<sub>m</sub> von BrC<sub>6</sub>H<sub>4</sub>, C(3<sup>m</sup>, 5<sup>m</sup>)); *J*(H<sub>m</sub> von BrC<sub>6</sub>H<sub>4</sub>, C(1<sup>m</sup>)); *J*(H<sub>o</sub> von NO<sub>2</sub>C<sub>6</sub>H<sub>4</sub>, C(2<sup>r</sup>, 6<sup>r</sup>)); *J*(H<sub>o</sub> von NO<sub>2</sub>C<sub>6</sub>H<sub>4</sub>, C(4<sup>r</sup>)); *J*(H<sub>o</sub> von CH<sub>3</sub>C<sub>6</sub>H<sub>4</sub>, C(2<sup>r</sup>, 6<sup>r</sup>)); *J*(H<sub>o</sub> von CH<sub>3</sub>C<sub>6</sub>H<sub>4</sub>, C(4<sup>r</sup>)); *J*(H<sub>o</sub> von CH<sub>3</sub>C<sub>6</sub>H<sub>4</sub>, C(5)); *J*(H<sub>m</sub> von NO<sub>2</sub>C<sub>6</sub>H<sub>4</sub>, C(3<sup>r</sup>, 5<sup>r</sup>)); *J*(H<sub>m</sub> von NO<sub>2</sub>C<sub>6</sub>H<sub>4</sub>, C(1<sup>n</sup>)). Anal. ber. für C<sub>22</sub>H<sub>16</sub>BrN<sub>5</sub>O<sub>2</sub> (462,31): C 57,16, H 3,49, N 15,15; gef.: C 57,27, H 3,52, N 14,97.

2,3-Dihydro-2,3-bis(4-nitrophenyl)-5-phenyl-1H-1,2,4-triazol-1-carbonitril (**5e**): 0,83 g (40%) farblose Kristalle. Schmp. 183–184°. IR: 3100w, 3060m (CH), 2230s (C≡N), 1660s (C=N), 1590s (C=C), 1510s, 1340s (NO<sub>2</sub>). <sup>1</sup>H-NMR (CDCl<sub>3</sub>): 6,66 (s, H–C(3)); 7,29 (m<sup>2</sup>), 2 H<sub>o</sub> von NO<sub>2</sub>C<sub>6</sub>H<sub>4</sub>; 7,57–7,64 (m, 2 H von Ph); 7,67–7,75 (m, 1 H von Ph); 7,88 (m<sup>2</sup>), 2 H<sub>m</sub> von NO<sub>2</sub>C<sub>6</sub>H<sub>4</sub>; 8,04–8,09 (m, 2 H von Ph); 8,30–8,40 (m, 4 H von NO<sub>2</sub>C<sub>6</sub>H<sub>4</sub>). <sup>13</sup>C-NMR (CDCl<sub>3</sub>): 95,4 (C(3)); 109,3 (CN); 115,3 (t); 123,4 (q); 124,6, 125,9, 127,1, 129,4, 129,5 134,2 (6t); 143,7, 144,3, 148,6, 153,9, 154,2 (5q). Anal. ber. für C<sub>21</sub>H<sub>14</sub>N<sub>6</sub>O<sub>4</sub> (414,38): C 60,87, H 3,41, N 20,28; gef.: C 60,94, H 3,46, N 20,08.

2,3-Dihydro-2,3-bis(4-nitrophenyl)-5-(p-tolyl)-1H-1,2,4-triazol-1-carbonitril (**5f**): 0,90 g (42%) farblose Kristalle. Schmp. 153–155°. IR: 3100w, 3060m, 3040w (CH), 2920w, 2840w (CH), 2230s (C≡N), 1600s (C=N), 1590s (C=C), 1510s, 1340s (NO<sub>2</sub>). <sup>1</sup>H-NMR (CDCl<sub>3</sub>): 2,47 (s, CH<sub>3</sub>); 6,63 (s, H–C(3)); 7,27 (m<sup>2</sup>), 2 H<sub>o</sub> von NO<sub>2</sub>C<sub>6</sub>H<sub>4</sub>; 7,39 (m<sup>2</sup>), 2 H<sub>m</sub> von CH<sub>3</sub>C<sub>6</sub>H<sub>4</sub>; 7,86 (m<sup>2</sup>), 2 H<sub>m</sub> von NO<sub>2</sub>C<sub>6</sub>H<sub>4</sub>; 7,94 (m<sup>2</sup>), 2 H<sub>o</sub> von CH<sub>3</sub>C<sub>6</sub>H<sub>4</sub>; 8,29–8,39 (m, 4 H von NO<sub>2</sub>C<sub>6</sub>H<sub>4</sub>). Anal. ber. für C<sub>22</sub>H<sub>16</sub>N<sub>6</sub>O<sub>4</sub> (428,41): C 61,68, H 3,76, N 19,62; gef.: C 61,80, H 3,88, N 19,49.

4. Allgemeine Vorschrift zur Herstellung der 5,5'-Bi[1,2,4]oxadiazole **8a–c**. In eine auf –30° gekühlte Lsg. von 10 mmol des jeweiligen Benzhydroximoyl-chlorids **6** in 200 ml Et<sub>2</sub>O wird Dicyan [12] eingeleitet. Nach Sättigung der Lsg. tropft man bei etwas verringertem Dicyan-Strom 10 mmol (1,1 g) Et<sub>3</sub>N zu. Die Lsg. wird noch 24 h gerührt, wobei sich das Gemisch auf RT. erwärmt. Der ausgefallene Niederschlag wird abfiltriert und zur Befreiung von Et<sub>3</sub>N·HCl mit H<sub>2</sub>O gewaschen. Trocknen liefert **8** analysenrein. Die Mutterlauge enthält nur das als Nebenprodukt entstandene Furoxan.

3,3'-Diphenyl-5,5'-bi[1,2,4]oxadiazol (**8a**): 1,54 g (53%) farblose Kristalle. Schmp. 260–261°. IR: 3050m (CH), 1595s, 1580w (C=N, C=C). <sup>1</sup>H-NMR ((D<sub>6</sub>)DMSO): 7,65–7,70 (m, 6 arom. H); 8,15–8,19 (m, 4 arom. H). MS (70 eV): 290, 291 (100, 20, M<sup>+</sup>), 187 (10, C<sub>6</sub>H<sub>5</sub>C<sub>2</sub>N<sub>2</sub>OCNO), 145 (42, C<sub>6</sub>H<sub>5</sub>C<sub>2</sub>N<sub>2</sub>O), 119 (83, C<sub>6</sub>H<sub>5</sub>CNO), 103 (34, C<sub>6</sub>H<sub>5</sub>CN), 77 (100, C<sub>6</sub>H<sub>5</sub>). Anal. ber. für C<sub>16</sub>H<sub>10</sub>N<sub>4</sub>O<sub>2</sub> (290,28): C 66,20, H 3,47, N 19,30; gef.: C 65,91, H 3,71, N 19,07.

3,3'-Bis(4-fluorophenyl)-5,5'-bi[1,2,4]oxadiazol (**8b**): 0,65 g (20%) farblose Kristalle. Schmp. 216–217°. IR: 3060w (CH), 1600s, 1510s (C=N, C=C). <sup>1</sup>H-NMR ((D<sub>6</sub>)DMSO): 7,47–7,54 (m<sup>2</sup>, 4 H<sub>o</sub><sup>4</sup>); 8,20–8,25 (m<sup>2</sup>, 4 H<sub>m</sub><sup>4</sup>). MS (70 eV): 326, 327 (100, 19, M<sup>+</sup>); 205 (14, FC<sub>6</sub>H<sub>4</sub>C<sub>2</sub>N<sub>2</sub>OCNO), 163 (44, FC<sub>6</sub>H<sub>4</sub>C<sub>2</sub>N<sub>2</sub>O), 137 (52, FC<sub>4</sub>H<sub>2</sub>C<sub>2</sub>N<sub>2</sub>), 95 (21, FC<sub>6</sub>H<sub>4</sub>). Anal. ber. für C<sub>16</sub>H<sub>8</sub>F<sub>2</sub>N<sub>4</sub>O<sub>2</sub> (326,26): C 58,90, H 2,47, N 17,17; gef.: C 58,64, H 2,71, N 16,92.

3,3'-Bis(2-fluorophenyl)-5,5'-bi[1,2,4]oxadiazol (**8c**): 0,49 g (15%) farblose Kristalle. Schmp. 224–226°. IR: 3060w (CH), 1605s, 1580m, 1570m, 1520s (C=N, C=C). <sup>1</sup>H-NMR ((D<sub>6</sub>)DMSO): 7,48–7,59 (m, 4 H, H–C(4,4<sup>r</sup>),

<sup>4</sup>) Zusätzliche Aufspaltung durch <sup>19</sup>F.

H–C(5,5'); 7,72–7,81 (*m*, 2 H, H–C(6,6')); 8,16–8,22 (*m*, 2 H, H–C(3,3')). MS (70 eV): 326, 327 (5, 1, *M*<sup>+</sup>); 163 (3, FC<sub>6</sub>H<sub>4</sub>C<sub>2</sub>N<sub>2</sub>O), 137 (29, FC<sub>6</sub>H<sub>2</sub>C<sub>2</sub>N<sub>2</sub>O), 95 (12, FC<sub>6</sub>H<sub>4</sub>), 86 (100). Anal. ber. für C<sub>16</sub>H<sub>6</sub>F<sub>2</sub>N<sub>4</sub>O<sub>2</sub> (326,26): C 58,90, H 2,47, N 17,17; gef.: C 59,02, H 2,72, N 16,94.

5. *Allgemeine Vorschrift zur Herstellung der (Arylazo)-1,2,4-oxadiazole 9a–j.* Zu einer Lsg. von 3 mmol des jeweiligen Benzhydroximoyl-chlorids **7** und 3,3 mmol Diazocyanid in 30 ml Toluol werden 6 ml 1N K<sub>2</sub>CO<sub>3</sub> (3 mmol) getropft. Dann wird 2–24 h kräftig gerührt, wobei sich das analysenreine **9** als oranger bis roter Niederschlag abscheidet. Der ausgefallene Feststoff wird abfiltriert, die org. Phase abgetrennt, getrocknet (MgSO<sub>4</sub>) und das Lsgm. abdestilliert. Der Rückstand wird aus AcOEt/CHCl<sub>3</sub> umkristallisiert.

5-(4-Chlorophenylazo)-3-phenyl-1,2,4-oxadiazol (**9a**): 0,65 g (77%) korallenrote Kristalle. Schmp. 164–165°. IR: 3080w (CH), 1605w, 1580s, 1570w, 1550s (C=N, C=C). <sup>1</sup>H-NMR (CDCl<sub>3</sub>): 7,49–7,61 (*m*, 2 H<sub>o</sub> von ClC<sub>6</sub>H<sub>4</sub>, 3 H von Ph); 8,11 (*m*<sup>2</sup>), 2 H<sub>m</sub> von ClC<sub>6</sub>H<sub>4</sub>); 8,18–8,23 (*m*, 2 H von Ph). MS (70 eV): 284, 286 (9, 2, *M*<sup>+</sup>); 139 (9, N<sub>2</sub>C<sub>6</sub>H<sub>4</sub>Cl); 111, 113 (36, 13, C<sub>6</sub>H<sub>4</sub>Cl); 77 (15, C<sub>6</sub>H<sub>5</sub>); 28 (100). Anal. ber. für C<sub>14</sub>H<sub>9</sub>ClN<sub>4</sub>O (284,71): C 59,06, H 3,19, N 19,68; gef.: C 58,91, H 3,34, N 19,41.

5-(4-Nitrophenylazo)-3-phenyl-1,2,4-oxadiazol (**9b**): 0,85 g (96%) orange Nadeln. Schmp. 221–222°. IR: 3105m (CH), 1610m, 1590w, 1550m (C=N, C=C), 1520s, 1345s (NO<sub>2</sub>). <sup>1</sup>H-NMR (CDCl<sub>3</sub>): 7,26–7,59 (*m*, 3 H von Ph); 8,20–8,24 (*m*, 2 H von Ph); 8,32 (*m*<sup>2</sup>), 2 H<sub>o</sub> von NO<sub>2</sub>C<sub>6</sub>H<sub>4</sub>); 8,48 (*m*<sup>2</sup>), 2 H<sub>m</sub> von NO<sub>2</sub>C<sub>6</sub>H<sub>4</sub>). MS (70 eV): 296, 297 (7, 2, *M*<sup>+</sup>); 148, 149 (21, 8, OCNNC<sub>6</sub>H<sub>4</sub>O); 121, 122 (19, 2, N<sub>2</sub>C<sub>6</sub>H<sub>4</sub>O); 77 (15, C<sub>6</sub>H<sub>5</sub>); 28 (100). Anal. ber. für C<sub>14</sub>H<sub>9</sub>N<sub>3</sub>O<sub>3</sub> (296,26): C 56,95, H 3,07, N 23,72; gef.: C 56,83, H 3,11, N 23,57.

5-(4-Chloro-2-nitrophenylazo)-3-phenyl-1,2,4-oxadiazol (**9c**): 0,50 g (51%) dunkelorange Nadeln. Schmp. 166–167°. IR: 3090m (CH), 1590m, 1570m, 1550s (C=N, C=C), 1530s, 1350s (NO<sub>2</sub>). <sup>1</sup>H-NMR (CDCl<sub>3</sub>): 7,51–7,61 (*m*, 3 H von Ph); 7,73–7,76 (*m*, H–C(5') von NO<sub>2</sub>(Cl)C<sub>6</sub>H<sub>3</sub>); 7,80–7,83 (*m*, H–C(6') von NO<sub>2</sub>(Cl)C<sub>6</sub>H<sub>3</sub>); 8,01–8,02 (*m*, H–C(3') von NO<sub>2</sub>(Cl)C<sub>6</sub>H<sub>3</sub>); 8,18–8,21 (*m*, 2 H von Ph). Anal. ber. für C<sub>14</sub>H<sub>8</sub>ClN<sub>5</sub>O<sub>3</sub> (329,70): C 51,00, H 2,45, N 21,24; gef.: C 50,92, H 2,49, N 21,52.

3-(3-Fluorophenyl)-5-(4-nitrophenylazo)-1,2,4-oxadiazol (**9d**): 0,65 g (69%) korallenrote Kristalle. Schmp. 195–197°. IR: 3100m, 3080w (CH), 1610m, 1590m, 1555s (C=N, C=C), 1520s, 1345s (NO<sub>2</sub>). <sup>1</sup>H-NMR (CDCl<sub>3</sub>): 7,25–7,32 (*m*, H–C(4') von FC<sub>6</sub>H<sub>4</sub>); 7,50–7,57 (*m*, H–C(5') von FC<sub>6</sub>H<sub>4</sub>); 7,90–7,94 (*m*, H–C(2') von FC<sub>6</sub>H<sub>4</sub>); 8,00–8,03 (*m*, H–C(6') von FC<sub>6</sub>H<sub>4</sub>); 8,32 (*m*<sup>2</sup>), 2 H<sub>o</sub> von NO<sub>2</sub>C<sub>6</sub>H<sub>4</sub>); 8,48 (*m*<sup>2</sup>), 2 H<sub>m</sub> von NO<sub>2</sub>C<sub>6</sub>H<sub>4</sub>). Anal. ber. für C<sub>14</sub>H<sub>8</sub>FN<sub>3</sub>O<sub>3</sub> (313,25): C 53,68, H 2,57, N 22,36; gef.: C 53,42, H 2,53, N 22,33.

5-(4-Chlorophenylazo)-3-(4-fluorophenyl)-1,2,4-oxadiazol (**9e**): 0,50 g (55%) orange Kristalle. Schmp. 188–189°. IR: 3080w (CH), 1600s, 1580m, 1550s (C=N, C=C). <sup>1</sup>H-NMR (CDCl<sub>3</sub>): 7,18–7,26 (*m*<sup>2</sup>), 2 H<sub>o</sub> von FC<sub>6</sub>H<sub>4</sub>); 7,55–7,62 (*m*<sup>2</sup>), 2 H<sub>o</sub> von ClC<sub>6</sub>H<sub>4</sub>); 8,09–8,14 (*m*<sup>2</sup>), 2 H<sub>m</sub> von ClC<sub>6</sub>H<sub>4</sub>); 8,18–8,25 (*m*<sup>2</sup>), 2 H<sub>m</sub> von FC<sub>6</sub>H<sub>4</sub>). MS (70 eV): 302, 303, 304 (20, 14, 12, *M*<sup>+</sup>); 111, 113 (100, 34, C<sub>6</sub>H<sub>4</sub>Cl); 95 (20, C<sub>6</sub>H<sub>4</sub>F); 76 (34, C<sub>6</sub>H<sub>4</sub>). Anal. ber. für C<sub>14</sub>H<sub>8</sub>ClFN<sub>4</sub>O (302,70): C 55,55, H 2,66, N 18,51; gef.: C 55,30, H 2,66, N 18,30.

3-(4-Fluorophenyl)-5-(4-nitrophenylazo)-1,2,4-oxadiazol (**9f**): 0,50 g (53%) orange, glänzende Nadeln, Schmp. 203–204°. IR: 3100w, 3080w (CH), 1600s, 1550s (C=N, C=C), 1520s, 1345s (NO<sub>2</sub>). <sup>1</sup>H-NMR (CDCl<sub>3</sub>): 7,25 (*m*<sup>2</sup>), 2 H<sub>o</sub> von FC<sub>6</sub>H<sub>4</sub>); 8,23 (*m*<sup>2</sup>), 2 H<sub>m</sub> von FC<sub>6</sub>H<sub>4</sub>); 8,32 (*m*<sup>2</sup>), 2 H<sub>o</sub> von NO<sub>2</sub>C<sub>6</sub>H<sub>4</sub>); 8,48 (*m*<sup>2</sup>), 2 H<sub>m</sub> von NO<sub>2</sub>C<sub>6</sub>H<sub>4</sub>). Anal. ber. für C<sub>14</sub>H<sub>8</sub>FN<sub>3</sub>O<sub>3</sub> (313,25): C 53,68, H 2,57, N 22,36; gef.: C 53,59, H 2,55, N 22,40.

5-(4-Chlorophenylazo)-3-(4-nitrophenyl)-1,2,4-oxadiazol (**9g**): 0,96 g (97%) blassorange Kristalle. Schmp. 241–242°. IR: 3090m (CH), 1605m, 1580m, 1570w, 1550s (C=N, C=C), 1520s, 1335s (NO<sub>2</sub>). <sup>1</sup>H-NMR (CDCl<sub>3</sub>): 7,62 (*m*<sup>2</sup>), 2 H<sub>o</sub> von ClC<sub>6</sub>H<sub>4</sub>); 8,13 (*m*<sup>2</sup>), 2 H<sub>m</sub> von ClC<sub>6</sub>H<sub>4</sub>); 8,41 (*s*, 4 H von NO<sub>2</sub>C<sub>6</sub>H<sub>4</sub>). Anal. ber. für C<sub>14</sub>H<sub>8</sub>ClN<sub>5</sub>O<sub>3</sub> (329,70): C 51,00, H 2,45, N 21,24; gef.: C 50,85, H 2,54, N 21,01.

5-(4-Chloro-2-nitrophenylazo)-3-(4-nitrophenyl)-1,2,4-oxadiazol (**9h**): 1,07 g (95%) orange Kristalle. Schmp. 189–190°. IR: 3090m, 3070m (CH), 1610w, 1585m, 1555m (C=N, C=C), 1530s, 1335s (NO<sub>2</sub>). <sup>1</sup>H-NMR (CDCl<sub>3</sub>): 7,75–7,79 (*m*, H–C(5') von NO<sub>2</sub>(Cl)C<sub>6</sub>H<sub>3</sub>); 7,82–7,85 (*m*, H–C(6') von NO<sub>2</sub>(Cl)C<sub>6</sub>H<sub>3</sub>); 8,03–8,04 (*m*, H–C(3') von NO<sub>2</sub>(Cl)C<sub>6</sub>H<sub>3</sub>); 8,40 (*s*, 4 H von NO<sub>2</sub>C<sub>6</sub>H<sub>4</sub>). Anal. ber. für C<sub>14</sub>H<sub>7</sub>ClN<sub>6</sub>O<sub>5</sub> (374,70): C 44,88, H 1,88, N 22,43; gef.: C 45,05, H 1,94, N 22,26.

3,5-Bis(4-nitrophenyl)-1,2,4-oxadiazol (**9i**): 0,50 g (49%) blassorange Kristalle. Schmp. 224–225°. IR: 3100m (CH), 1610m, 1555m (C=N, C=C), 1530s, 1345s (NO<sub>2</sub>). <sup>1</sup>H-NMR (CDCl<sub>3</sub>): 8,34 (*m*<sup>2</sup>), 2 H<sub>o</sub>); 8,43 (*s*, 4 arom. H); 8,50 (*m*<sup>2</sup>), 2 H<sub>m</sub>). Anal. ber. für C<sub>14</sub>H<sub>8</sub>N<sub>6</sub>O<sub>5</sub> (340,26): C 49,42, H 2,37, N 24,70; gef.: C 49,36, H 2,42, N 24,56.

5-(4-Chloro-2-nitrophenylazo)-3-(2-nitrophenyl)-1,2,4-oxadiazol (**9j**): 0,61 g (54%) dunkelrote Stäbchen. Schmp. 175–177°. IR: 3090m (CH), 1595w, 1575m (C=N, C=C), 1530s, 1335s (NO<sub>2</sub>). <sup>1</sup>H-NMR (CDCl<sub>3</sub>): 7,73–7,84 (*m*, H–C(5'), H–C(6') von NO<sub>2</sub>(Cl)C<sub>6</sub>H<sub>3</sub>, H–C(4'), H–C(5'') von NO<sub>2</sub>C<sub>6</sub>H<sub>4</sub>); 7,92–7,96 (*m*, H–C(6'') von NO<sub>2</sub>C<sub>6</sub>H<sub>4</sub>); 8,02–8,03 (*m*, H–C(3') von NO<sub>2</sub>(Cl)C<sub>6</sub>H<sub>3</sub>); 8,07–8,11 (*m*, H–C(3'') von NO<sub>2</sub>C<sub>6</sub>H<sub>4</sub>). Anal. ber. für C<sub>14</sub>H<sub>7</sub>ClN<sub>6</sub>O<sub>5</sub> (374,70): C 44,88, H 1,88, N 22,43; gef.: C 44,73, H 1,91, N 22,38.

## LITERATURVERZEICHNIS

- [1] M. Fulde, Teil der geplanten Dissertation, Universität Frankfurt/Main.
- [2] a) R. Huisgen, *Angew. Chem.* **1963**, *75*, 604; b) R. Huisgen, *Proc. Chem. Soc. (London)* **1961**, 357.
- [3] a) R. Huisgen, H. Stangl, H. J. Sturm, H. Wagenhofer, *Angew. Chem.* **1962**, *74*, 31; b) K. Bunge, R. Huisgen, R. Raab, H. J. Sturm, *Chem. Ber.* **1972**, *105*, 1307.
- [4] a) A. Gieren, U. Riemann, B. Dederer, *Z. Anorg. Allg. Chem.* **1980**, *468*, 15; b) H. W. Roesky, N. Amin, G. Remmers, A. Gieren, U. Riemann, B. Dederer, *Angew. Chem.* **1979**, *91*, 243.
- [5] a) H.-J. Hansen, H. Heimgartner, in '1,3-Dipolar Cycloaddition Chemistry', Ed. A. Padwa, John Wiley, New York, 1984, Vol. 1, S. 248–249, S. 271–273; b) P. Caramella, P. Grünanger, *ibid.* S. 361–362.
- [6] a) K. Bunge, R. Huisgen, R. Raab, *Chem. Ber.* **1972**, *105*, 1296; b) R. Huisgen, R. Raab, *Tetrahedron Lett.* **1966**, *6*, 649.
- [7] M. F. Ahern, A. Leopold, J. R. Beadle, G. W. Gokel, *J. Am. Chem. Soc.* **1982**, *104*, 551.
- [8] H. Bader, J. D. Downer, P. Driver, *J. Chem. Soc.* **1950**, 2775.
- [9] H. Metzger, 'Houben-Weyl, Methoden der Organischen Chemie', G. Thieme Verlag, Stuttgart, 1968, Vol. 10/4, S. 100.
- [10] A. Quilico, *Experientia* **1970**, *26*, 1169.
- [11] a) R. Huisgen, H. Blaschke, E. Brunn, *Tetrahedron Lett.* **1966**, *4*, 405; b) H. Blaschke, E. Brunn, R. Huisgen, W. Mack, *Chem. Ber.* **1972**, *105*, 2841; c) G. A. Lee, to Dow Chemical Co., U.S. Patent 4,268,674, 1979.
- [12] G. J. Janz, H. M. Woodburn, J. T. Pecka, T. J. Dolce, *Inorg. Synth.* **1957**, *5*, 43.